

چکیده

آین نامه های طراحی لرزه ای ساختمان ها در ایران (استاندارد ۲۸۰۰) در پی تأمین حاشیه ایمنی مطلوب در عملکرد سازه های طراحی شده می باشد. ویرایش های مختلف آین نامه طراحی لرزه ای ساختمان ها در برابر زلزله ایران با رویکرد تحلیل طیف های پاسخ حاصل از شتاب نگاشت ها و مقیاس سازی نسبت به شتاب پاسخ طیفی در دوره تناوب^۱ صفر ثانیه (PGA)، طیف های طراحی بر حسب نوع خاک را ارائه نموده است. در ارائه این طیف ها، هدف تأمین حاشیه ایمنی بوده است، ولی علاوه تأمین حاشیه ایمنی به صورت کیفی لحاظ شده و به صورت کمی قابل تعیین نمی باشد. به منظور بررسی دقیق طیف های ارائه شده در استاندارد ۲۸۰۰، در یک مطالعه موردی، طیف های خطر یکنواخت برای گستره شهر تهران با طیف های پیشنهادی در استاندارد ۲۸۰۰ بر حسب انواع خاک (I-IV) مقایسه شده است. بدین منظور، شهر تهران به ۶۳۲ نقطه در یک شبکه ۱ در ۱ کیلومتر تقسیم شده و به کمک تحلیل خطر احتمالاتی، منحنی های خطر به همراه مقادیر شتاب طیفی^۲ برای دوره تناوب های مختلف و بر حسب نوع خاک در هر نقطه محاسبه شده است. سپس میانگین طیف های نقاط مختلف با خاک یکسان به عنوان طیف طرح نماینده آن نوع خاک با طیف های پیشنهادی در استاندارد ۲۸۰۰ مقایسه شده است. بر اساس نتایج حاصل، شتاب های طیفی آین نامه برای خاک های نوع I و II به ویژه در دوره تناوب های بالاتر از ۵/۰ ثانیه مقادیر بالاتری را نسبت به طیف های خطر یکنواخت محاسبه شده با ۱۰٪ احتمال وقوع در ۵۰ سال را نشان می دهد. علاوه بر این برای خاک های نوع III و IV مقادیر شتاب های طیفی آین نامه در دوره تناوب های زیر ۵/۰ ثانیه تقریباً معادل مقادیر طیف های خطر بوده و برای دوره تناوب های بالاتر از ۵/۰ ثانیه مجدداً طیف های طراحی مقادیر بالاتری را نسبت به طیف های خطر یکنواخت ارائه می نماید.

واژگان کلیدی: استاندارد ۲۸۰۰، تحلیل خطر احتمالاتی تهران، طیف خطر یکنواخت، طیف پاسخ طراحی.

نوع مقاله: پژوهشی

مقایسه طیف های طراحی آین نامه با طیف های خطر یکنواخت در گستره شهر تهران

یاسر حامدنا

دانشجوی دکتری، پژوهشگاه بین المللی زلزله شناسی و مهندسی زلزله،
تهران، ایران

محمد رضا قائم‌قایان (نویسنده مسئول)

استاد، پژوهشکده مدیریت خطرپذیری و بحران، پژوهشگاه بین المللی
زلزله شناسی و مهندسی زلزله، تهران، ایران، mrgh@iees.ac.ir

۱- مقدمه

افزایش سطح خطرپذیری در تهران گردد. از طرف دیگر طراحی با طیف های دست بالا می تواند باعث افزایش هزینه ساخت و اتلاف منابع گردد؛ بنابراین، به روزرسانی و تدقیق پارامترهای طراحی در آین نامه های ساختمانی خصوصاً طیف های طراحی به گونه ای که هم حاشیه ایمنی مناسب برای ساختمان ها تأمین و هم هزینه ساخت از لحاظ اقتصادی مقرر نبشه صرفه گردد، امری اجتناب ناپذیر است. در اکثر

طیف های طراحی و رویکردهای توسعه آنها نقش مهمی در طراحی ساختمان های مقاوم در برابر زلزله ایفا می نماید. کلان شهر تهران به عنوان پایتخت سیاسی و اقتصادی ایران با واقع شدن در منطقه ای با لرزه خیزی بسیار بالا، همواره با حجم بالایی از ساخت و ساز ساختمان ها با کاربری های مختلف را دارد و هرساله بر تعداد و تنوع ساختمان ها افزوده می شود و در صورت عدم رعایت طراحی با حاشیه ایمنی مناسب می تواند باعث

یافته‌های موجود برای شهر تهران، تحلیل خطر احتمالاتی برای این شهر به انجام رسیده است. سپس به کمک تحلیل خطر احتمالاتی، طیف خطر یکنواخت بر اساس نوع ساختگاه برای چهار نوع خاک تعریف شده در استاندارد ۲۸۰۰ محسوبه شده است. افزون بر این، این طیف‌ها با نتایج مطالعات انجام یافته در گذشته و طیف‌های طراحی ارائه شده برای خاک‌های مختلف در استاندارد ۲۸۰۰ (ویرایش چهارم) مقایسه و نتایج مورد تحلیل و بحث قرار گرفته است. در ادامه به منظور بررسی اثر شکل طیفی، پهنه‌بندی مقادیر شتاب پاسخ طیفی در دوره تناوب‌های ۰/۲ و ۱ ثانیه در گستره شهر تهران به انجام رسیده است. بر اساس نتایج این تحقیق، برای مناطق جنوب تهران که در مجاورت گسل‌های شمال و جنوب ری و بر پهنه خاک نرم بر اساس پهنه‌بندی خاک شهر تهران گستردۀ شده، شتاب پاسخ طیفی بیشتر از سایر نقاط بوده و با حرکت به سمت شمال تهران از مقادیر شتاب پاسخ طیفی کاسته شده است. نتیجه مقایسه طیف‌های حاصله از این تحقیق با طیف‌های طراحی آین نامه (طیف شبه‌شتاب پاسخ الاستیک با نسبت میرایی ۵ درصد) نشانگر دست بالا بودن طیف‌های آین نامه می‌باشد. طی تحقیق مشابه، قدرتی و همکاران در طی دو تحقیق مشابه با انجام تحلیل خطر احتمالاتی، طیف‌های خطر یکنواخت را بر روی خاک سنگی ($V_{S30} \geq 750$ متر بر ثانیه)، خاک سفت (۳۶۰ $\leq V_{S30} \leq 750$ متر بر ثانیه) و خاک نرم (۳۶۰ $\leq V_{S30} \leq 750$ متر بر ثانیه) برای مناطقی در شمال و جنوب تهران، محسابه و با مقادیر متضاظر طیف آین نامه (ویرایش سوم) مقایسه نمودند (Ghodrati Amiri et al., 2007, 2011). نتیجه این تحقیق برای مناطق جنوب تهران، به دلیل نزدیکی به گسل‌های شمال و جنوب ری و با توجه به پهنه‌بندی خاک (خاک نرم) شتاب پاسخ طیفی بیشتر از سایر نقاط بوده و با حرکت به سمت شمال از مقادیر شتاب پاسخ طیفی کاسته شد. نتیجه این مقایسه مقادیر نسبی کمتر نتایج این تحقیق نسبت به مقادیر متضاظر طیف طراحی ویرایش سوم آین نامه را مشخص نمود. در تحقیقی مشابه که توسط تهرانی‌زاده و همکاران (Tehranizade & Seirafianpour, 2010) به محسابه شتاب پاسخ خطر یکنواخت با ملاحظه اثرات حوزه

آین نامه‌های ساختمانی، طیف خطر یکنواخت^۴ که به کمک تحلیل خطر احتمالاتی زلزله تعیین می‌شود، اساس برآورد طیف طراحی را تشکیل می‌دهد (Loh, et al., 1994). بر این مبنای طیف طرح بر مبنای خطر یکنواخت روشی مؤثر برای دستیابی به سطح اینمی مطلوب به صورت یکنواخت در عملکرد سازه‌ها با زمان‌های تناوب مختلف و در نتیجه آن کاهش آسیب‌پذیری لرزه‌ای ساختمان‌ها می‌باشد. طیف‌های خطر یکنواخت برخلاف طیف‌های مقیاس شده (طیف آین نامه) که با استفاده از پارامتر بیشینه شتاب زمین (مقدار طیف در دوره تناوب صفر) مقیاس می‌شوند، در هر نقطه دارای مقادیری منحصر به فرد است. از علی‌اصلی گرایش آین نامه‌های معتبر دنیا به استفاده از طیف‌های طراحی بر مبنای خطر یکنواخت، امکان یکسان‌سازی سطح خطر اعمالی به سازه‌ها با استفاده از این طیف‌ها می‌باشد (McGuire, 1977). از طرف دیگر در طیف‌های مقیاس شده (مانند آین نامه) که به مقدار شتاب حداقل زمین (PGA) مقیاس می‌شود، فرض بر این است که احتمال وقوع این پارامتر برای سایر دوره تناوب‌ها نیز حاکم باشد، در حالی که این فرض با توجه به اینکه پارامتر PGA اساساً یک پارامتر با دوره تناوب کوتاه می‌باشد، نادرست بوده و احتمال وقوع مقادیر شتاب پاسخ طیفی در دوره تناوب‌های متوسط و بلند از احتمال وقوع PGA فاصله خواهد گرفت (Shapira & Van Eck, 1993). طیف‌های طراحی ساختمان‌ها در برابر زلزله در بسیاری از آین نامه‌های اخیر بر مبنای خطر لرزه‌ای یکسان‌تنه شده‌اند (احتمال فراگذشت ۱۰ درصد در ۵۰ سال). در این میان مبنای تعیین طیف‌های طراحی مطرح در آین نامه طراحی ساختمان‌ها در برابر زلزله (استاندارد ۲۸۰۰) و بیشینه آن به درستی مشخص نیست (در این نوشتار از این پس به جای عبارت آین نامه طراحی ساختمان‌ها در برابر زلزله ایران به اختصار از عبارت آین نامه استفاده خواهد شد). به طور مثال مشخص نیست چه مدل لرزه‌ای و با استفاده از کدامین پارامترهای لرزه‌خیزی در تدوین این طیف‌ها به کار گرفته شده است. لذا در این تحقیق، ابتدا مدل لرزه‌خیزی به روز در ۲۰۰ کیلومتری شهر تهران تهیه و با تدقیق پارامترهای لرزه‌خیزی بر اساس جدیدترین

تأسیسات نفتی شکل گرفته است. متأسفانه، مستندات کافی در مورد مطالعاتی که منجر به تهیه نقشه پهنه‌بندی لرزه‌ای شده است در دسترس نیست. با این وجود، باور بر این است که عوامل تأثیرگذار در تهیه این نقشه، کاتالوگ زلزله‌های دستگاهی و تاریخی، ویژگی‌های چشمehای لرزه‌ای، نرخ وقوع بزرگ‌های مختلف مربوط به هر چشمeh و نیز انتخاب روابط کاهمدگی مناسب می‌باشد. در سه ویرایش اخیر این آین نامه، پهنه‌بندی لرزه‌ای شتاب مبنای طراحی در نقاط مختلف کشور بر اساس چهار سطح خطر لرزه‌ای خیلی زیاد ($A = 0.35 \text{ g}$)، زیاد ($A = 0.30 \text{ g}$)، متوسط ($A = 0.25 \text{ g}$) و کم ($A = 0.205 \text{ g}$) تعریف شده است.

طیف طرح آین نامه جهت انجام تحلیل استاتیکی معادل و نیز تحلیل دینامیکی در ویرایش‌های مختلف از رابطه زیر به دست می‌آید.

$$S_a = A \cdot B \quad (1)$$

که در آن A ، شتاب مبنای طراحی بوده و B ضریب بازتاب ساختمان بوده که در ویرایش چهارم آین نامه از رابطه زیر به دست می‌آید.

$$B = B_1 \cdot N \quad (2)$$

در این رابطه B_1 و N به ترتیب ضریب شکل و ضریب اصلاح طیف هستند که مطابق روابط زیر به دست می‌آیند.

$$\begin{cases} B_1 = S_0 + (S - S_0 + 1) \left(\frac{T}{T_0} \right) & 0 < T < T_0 \\ B_1 = S + 1 & T_0 \leq T \leq T_s \\ B_1 = (S + 1) \left(\frac{T_s}{T} \right) & T_s < T \end{cases} \quad (3)$$

در این روابط: T : زمان تناوب اصلی ساختمان به ثانیه است. S : پارامترهایی هستند که به نوع خاک و میزان خطر لرزه خیزی منطقه وابسته‌اند.

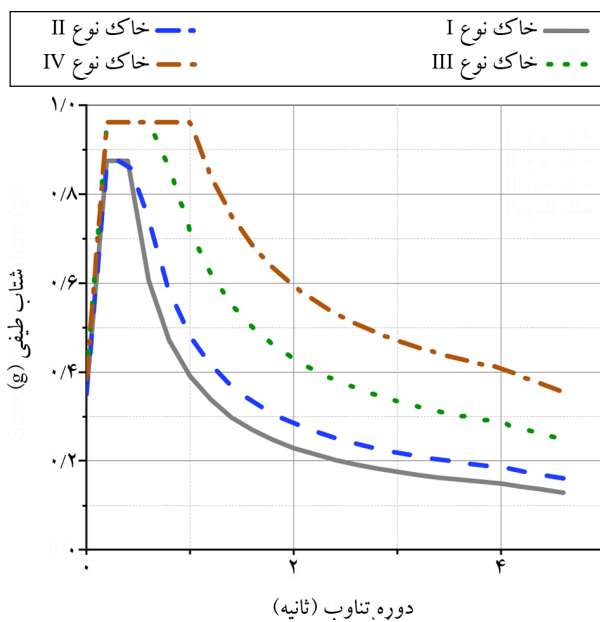
ضریب اصلاح طیف، N ، برای پهنه‌های با خطر نسبی خیلی زیاد و زیاد به شرح زیر تعیین می‌شود:

$$\begin{cases} N = 1 & T < T_s \\ N = \frac{0.7}{4 - T_s} (T - T_s) + 1 & T_s \leq T \leq 4 \text{ sec} \\ N = 1.7 & T > 4 \text{ sec} \end{cases} \quad (4)$$

نرديك برای شهر تهران پرداختند و سپس طیف طرح دو پارامتری (بر مبنای روش پیشنهادی آین نامه 2000 IBC) را محاسبه نمودند. نتیجه این تحقیق نشان‌دهنده مقادیر بیشتر شتاب طیفی خطر یکنواخت در دوره‌های تناوب زیر $0.5 / 0.5$ ثانیه و مقادیر کمتر آن در دوره‌های تناوب بالای $0.5 / 0.5$ ثانیه نسبت به مقادیر شتاب پاسخ طیفی متناظر آین نامه می‌باشد. عدم لحاظ کردن اثر هر چهار نوع و عدم پوشش کامل گستره شهر تهران در تحقیقات پیشین دلیل انجام تحقیق حاضر بوده تا با استفاده از نتایج آن بتوان ارزیابی کامل تری از طیف پیشنهادی آین نامه به دست آورد.

۲- مرواری بر طیف‌های طرح آین نامه و طبقه‌بندی خاک در ویرایش‌های مختلف آین نامه

ویرایش‌های مختلف آین نامه با هدف تعیین حداقل ضوابط و مقررات جهت طرح و اجرای ساختمان‌ها در برابر اثرات ناشی از زلزله و با کسب تجربیات جدید از زلزله‌های اخیر تهیه و به روزرسانی شده‌اند. در این راستا، ویرایش اول آین نامه طرح ساختمان‌های در برابر زلزله (BHRC, 1987) توسط مرکز تحقیقات ساختمان و مسکن با تشکیل کمیته‌ای از اساتید دانشگاه‌ها و صاحب‌نظران در سال ۱۳۶۶ تحت عنوان استاندارد ۲۸۰۰ تهیه و لازم‌الاجرا شد. این آین نامه تقریباً هر شش سال یکبار بازیبینی و ویرایش جدید آن تهیه و ملاک عمل قرار گرفته است. ویرایش‌های متعدد این آین نامه شامل ویرایش اول (BHRC, 1999)، ویرایش دوم (۱۳۷۸-۱۳۸۳) (BHRC, 1999)، ویرایش سوم (۱۳۹۳-۱۳۸۴) (BHRC, 2005) و ویرایش چهارم (BHRC, 2005) (BHRC, 2014) (BHRC, 2014) (BHRC, 2014) می‌باشد. نقشه پهنه‌بندی لرزه‌ای در کل پهنه‌ای ایران که از همان ویرایش اول گنجانده شده، بیشینه شتاب مبنای طراحی که پارامتری مهم در تهیه طیف طرح می‌باشد را ارائه نموده است. طیف طراحی برای چهار نوع خاک با استفاده از پارامترهای نوع خاک و نیز شتاب مبنای طراحی برای هر نقطه‌ای تولید شده و در فرآیند طراحی به کار برده می‌شود. نقشه پهنه‌بندی لرزه‌ای بر اساس مطالعات متعدد در زمینه تحلیل خطر موردی ویژه ساختگاه برای سازه‌های مهم نظیر سدها، نیروگاه‌ها و

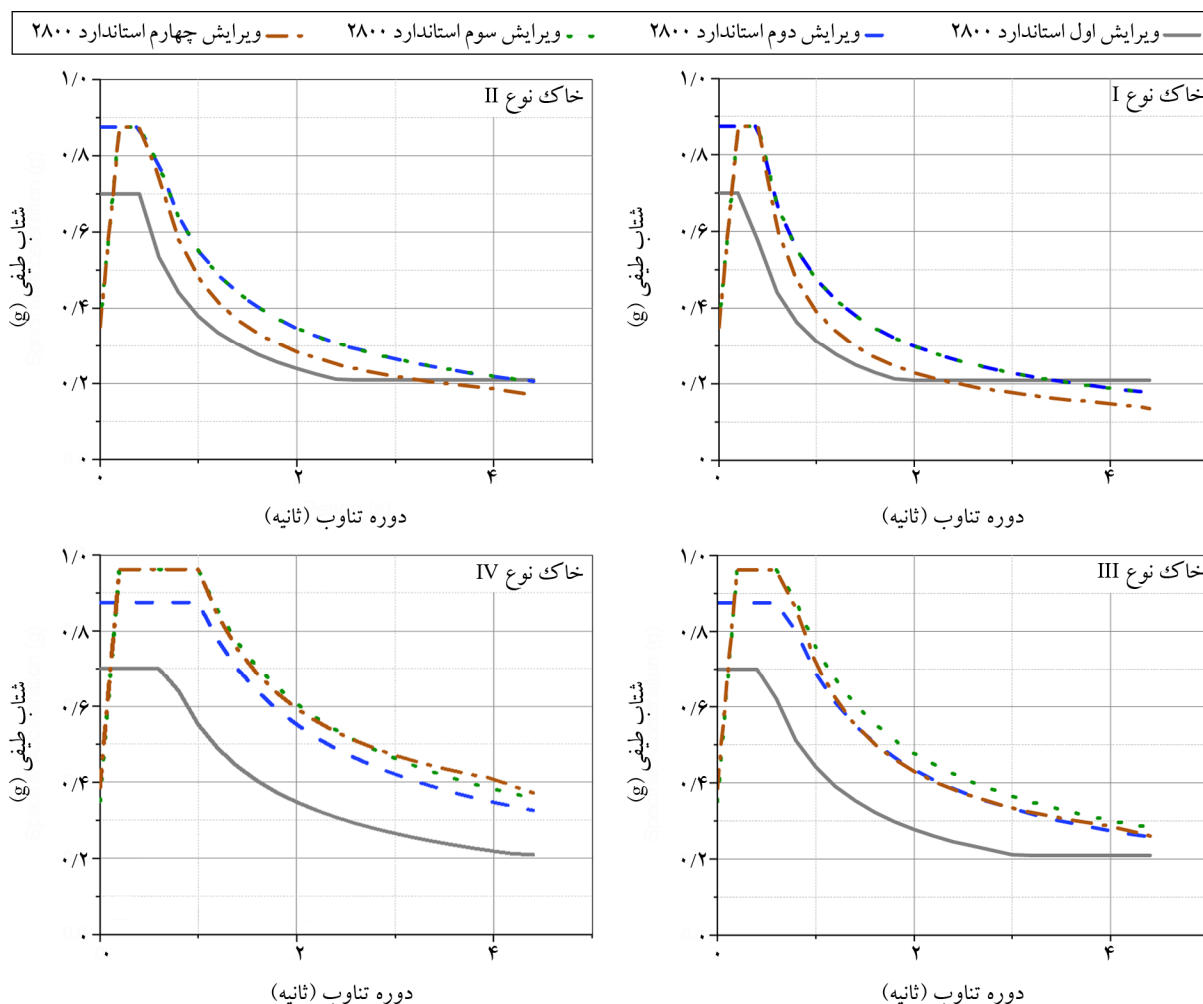


شکل (۱): طیف طرح برای پهنه با خطر نسبی خیلی زیاد برای چهار نوع خاک مطرح در آیین نامه (ویرایش چهارم).

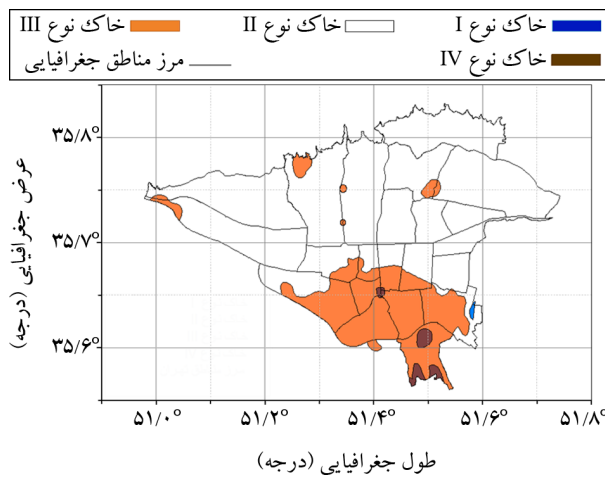
در ویرایش چهارم آیین نامه با تعیین حداقل ضوابط و مقررات برای طرح و اجرای ساختمان‌ها در برابر زلزله انتظار می‌رود که ساختمان‌های با اهمیت متوسط در اثر زلزله طرح (زلزله با دوره بازگشت ۴۷۵ ساله)، آسیب عمدۀ سازه‌ای غیرسازه‌ای نبینند و تلفات جانی در آنها حداقل باشد.

طیف طرح در این ویرایش، برای چهار نوع خاک شامل سنگ (نوع I)، خاک سفت و سنگ سست (نوع II)، خاک متوسط (نوع III) و خاک نرم (نوع IV) در پهنه‌های با خطر نسبی خیلی زیاد مانند شهر تهران در شکل (۱) نشان داده شده است.

همچنین در شکل (۲) مقایسه طیف‌های طرح در همان پهنه برای خاک‌های مختلف و در چهار ویرایش مختلف آیین نامه نشان داده شده است.



شکل (۲): مقایسه طیف طرح برای پهنه با خطر نسبی خیلی زیاد برای هر کدام از چهار نوع خاک مطرح در چهار ویرایش مختلف آیین نامه.



شکل (۳): پهنه‌بندی نوع ساختگاه در شهر تهران (Abbasnejadfar et al., 2023)

طیف استاندارد ۲۸۰۰، ابتدا لازم است تحلیل خطر احتمالاتی^۵ در منطقه مورد مطالعه انجام شود. بدین منظور لازم است که وضعیت تکتونیکی و چشممه‌های لرزه‌ای موجود در گستره مورد مطالعه شناسایی شوند. همچنین لازم است از روابط کاهندگی مناسب بین ایستگاه و توانمندی زمین ۷ همچون شتاب پاسخ طیفی و بیشینه شتاب، سرعت و تغییر مکان را از یک مقدار مشخص ۷ بیان نماید.

$$P[Y > y] = \iint P[Y > y|m, r] f_M(m) f_R(r) dm dr \quad (5)$$

که در آن $P[Y > y|m, r]$ بیانگر رابطه کاهندگی بوده و $f_M(m)$ و $f_R(r)$ به ترتیب توابع چگالی احتمال بزرگاً و فاصله بوده که باید برای هر چشممه لرزه‌زا با توجه به مشخصات آن چشممه و فاصله آن تا ساختگاه مورد نظر محاسبه شوند. رابطه کاهندگی طیفی که شکل کلی $Y = f(M, R, C_i)$ ، رابطه‌ای است که ارتباط پارامترهای حرکات توانمند زمین (Y) را با پارامترهای مختلفی از قبیل بزرگای زلزله (M)، فاصله از گسل (R) و نیز سایر پارامترهای مورد نظر همچون شرایط ساختگاهی، مکانیسم گسلش، اثر حوزه نزدیک (C_i) و غیره بیان می‌نماید. با فرض تعداد N چشممه لرزه‌زا با نرخ فعالیت لرزه‌ای سالانه^۱، احتمال وقوع کلی فراغذشت پارامتر حرکت زمین Y از مقدار y برابر خواهد بود با:

۳- طبقه‌بندی خاک

ویرایش‌های مختلف استاندارد ۲۸۰۰ اقدام به توصیف انواع خاک‌ها بر اساس مواد تشکیل دهنده ساختگاه و طبقه‌بندی آنها بر اساس برخی پارامترهای ژئوتکنیکی نموده است. طبقه‌بندی نوع خاک در استاندارد ۲۸۰۰، بر اساس متوسط سرعت موج برشی در ۳۰ متر بالای سطح زمین (V_{S30}) می‌باشد و در صورت عدم دسترسی به آن می‌توان از مقدادر تعداد ضربات نفوذ استاندارد $N_{1(10)}$ در خاک‌های دانه‌ای و مقاومت برخی زهکشی نشده در خاک‌های چسبنده (C_u) نیز استفاده نمود (BHRC, 2014). در تحقیق اخیری که توسط حامدنا و قائم‌مقامیان (Hamednia & Ghayamghamian, 2011, 2022) در گستره شهر تهران برای طبقه‌بندی خاک با استفاده از شتاب‌نگاشتهای ثبت شده (تعداد ۵۶ شتاب‌نگاشت در ۱۳۸۱ ایستگاه) حاصل از سه زلزله مهم اخیر (چنگوره آوج ۱۳۸۱، فیروزآباد کجور ۱۳۸۳ و کوهک قم ۱۳۸۶) انجام شده است، محققین با استفاده از ترکیب نتایج حاصل از روش‌های نسبت طیفی مؤلفه‌های افقی به قائم و روش نسبت طیفی ساختگاه به ایستگاه مرجع، اقدام به طبقه‌بندی خاک در گستره مورد مطالعه نموده‌اند. در مطالعه‌ای اخیر، عباس‌نژادفر و همکاران (Abbasnejadfar et al., 2023) با به کار گیری روش‌های آماری پیشرفتی و با استفاده از داده‌های موجود V_{S30} ، اقدام به ارائه نقشه توزیع V_{S30} در کل سطح شهر تهران کردند. نقشه پهنه‌بندی خاک تهران با بهره‌گیری از نتایج تحقیق عباس‌نژادفر و همکاران و مقدادر حدی ارائه شده V_{S30} ویرایش چهارم استاندارد ۲۸۰۰ برای خاک‌های مختلف مطابق شکل (۳) می‌باشد. در تحقیق حاضر نیز از ترکیب نتایج دو تحقیق فوق، (Abbasnejadfar et al., 2023) و (Hamednia & Ghayamghamian, 2022) برای مشخص نمودن نوع خاک هر نقطه در گستره شبکه مورد مطالعه استفاده شده است.

۴- تحلیل خطر

برای محاسبه طیف خطر یکنواخت با هدف مقایسه و ارزیابی

برای برآورد خطر لرزه‌ای، مدل گسل‌های واقع در محدوده شعاع ۲۰۰ کیلومتری بر اساس مطالعات حسامی و همکاران (Hesami et al., 2003) مبنای محاسبه بوده است. جهت تحلیل خطر لرزه‌ای پس از شناسایی چشممه‌های لرزه‌ای و جمع آوری و طبقه‌بندی داده‌های زلزله‌های تاریخی (قبل سال ۱۹۰۰ میلادی) و دستگاهی (بعد سال ۱۹۰۰ میلادی)، جهت محاسبه پارامترهای لرزه‌خیزی منطقه مورد مطالعه از رابطه بازگشتی گوتبرگ-ریشر (Wesnousky, 1994) استفاده شده است که خلاصه نتایج حاصل در جدول (۱) به تفکیک هر یک از چشممه‌های لرزه‌زا ارائه شده است. لازم به ذکر است که مقدار محاسبه شده برای ضریب لرزه‌خیزی (مقدار b) در گستره مورد مطالعه برابر با ۰/۷۹ برآورد گردیده است.

$$\lambda_y = \sum v_i \iint P[Y > y|m, r] f_{Mi}(m) f_{Ri}(r) dm dr \quad (6)$$

پارامتر λ_y احتمال وقوع سالیانه y بوده که با فرض توزیع پواسون برای توزیع زمانی زلزله‌ها، احتمال فراگذشت از مقدار y در T سال با رابطه زیر به دست خواهد آمد:

$$P(T) = 1 - e^{-\lambda_y T} \quad (7)$$

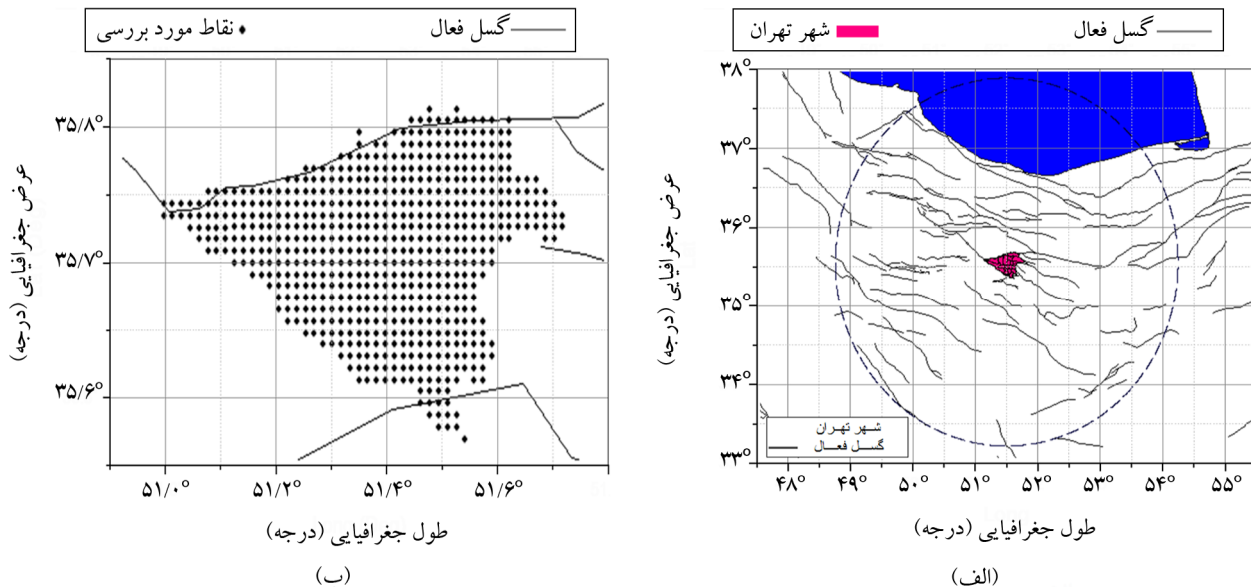
در رابطه فوق P احتمال وقوع زلزله در T سال عمر مفید سازه می‌باشد. در این تحقیق پارامتر حرکتی زمین بر اساس احتمال وقوع ۱۰ و ۲ درصد در ۵۰ سال (دوره بازگشت ۴۷۵ و ۲۴۷۵ ساله) برآورد خواهد شد. برای انجام تحلیل خطر احتمالاتی در پهنه مورد مطالعه از مدل لرزه‌ای تولید شده توسط زمان و قائم‌مقامیان استفاده شده است (شکل ۴-ب) (Zaman & Ghyamghamian, 2019). در این مدل

جدول (۱): مقادیر پارامترهای لرزه‌خیزی مربوط به گسل‌های گستره مورد مطالعه (Zaman & Ghyamghamian, 2019)

M-min	M-max	I	نام گسل	ردیف	M-min	M-max	I	نام گسل	ردیف
۴/۵	۷/۳۹	۰/۰۵۵	IRQ357	۲۶	۴/۵	۶/۳۶	۰/۰۴۴	Kashan	۱
۴/۵	۶/۹۴	۰/۱۳۸	Firuzkuh	۲۷	۴/۵	۷/۱۳	۰/۰۷۷	Tafresh	۲
۴/۵	۷/۵۲	۰/۱۶۶	Mosha	۲۸	۴/۵	۶/۶۸	۰/۰۱۷	IRQ 262	۳
۴/۵	۶/۳۲	۰/۰۱۱	IRQ 107	۲۹	۴/۵	۶/۶۲	۰/۰۷۲	IRQ 163	۴
۴/۵	۶/۴۳	۰/۰۳۹	Zanjan	۳۰	۴/۵	۶/۸	۰/۰۵	IRQ 165	۵
۴/۵	۶/۲۱	۰/۰۰۶	IRQ 539	۳۱	۴/۵	۷/۲۸	۰/۱۷۱	Siah Kuh	۶
۴/۵	۶/۷	۰/۰۳۳	Talegan	۳۲	۴/۵	۷/۰۸	۰/۱۸۲	Indes	۷
۴/۵	۷/۱۴	۰/۰۳۳	IRQ 571	۳۳	۴/۵	۷/۴۹	۰/۱۱۱	Kushke-Nosrtat	۸
۴/۵	۷/۲	۰/۱	Alamrud	۳۴	۴/۵	۶/۳۲	۰/۰۰۶	IRQ 102	۹
۴/۵	۶/۵۴	۰/۰۱۱	IRQ 260	۳۵	۴/۵	۷/۰۷	۰/۰۹۴	IRQ 470	۱۰
۴/۵	۶/۷۳	۰/۰۲۸	North Gazvin	۳۶	۴/۵	۶/۴۶	۰/۰۵۵	South Parandak	۱۱
۴/۵	۶/۸۹	۰/۰۱۱	Kandovan	۳۷	۴/۵	۷/۱۶	۰/۰۳۹	Ipak	۱۲
۴/۵	۶/۹۸	۰/۰۳۳	IRQ 570	۳۸	۴/۵	۶/۴۷	۰/۰۲۲	South Parandak2	۱۳
۴/۵	۷/۴۶	۰/۰۷۷	IRQ112	۳۹	۴/۵	۶/۶۱	۰/۰۱۷	IRQ 476	۱۴
۴/۵	۷/۸۲	۰/۰۴۳۷	North Alborz	۴۰	۴/۵	۶/۷۲	۰/۰۱۱	Eshtehard	۱۵
۴/۵	۶/۸۹	۰/۰۵	IRQ341	۴۱	۴/۵	۶/۸۹	۰/۰۶۱	Robat Karim	۱۶
۴/۵	۶/۷۸	۰/۰۲۸	Bonan	۴۲	۴/۵	۶/۳۶	۰/۰۱۱	Arad	۱۷
۴/۵	۶/۵۹	۰/۰۳۹	IRQ 485-486	۴۳	۴/۵	۶/۹۷	۰/۱۲۲	Garmsar	۱۸
۴/۵	۶/۴۶	۰/۰۰۶	IRQ 344	۴۴	۴/۵	۶/۶۹۷/۶۹۳	۰/۰۱۱	Kuh-e-Gachab2	۱۹
۴/۵	۶/۰۱	۰/۰۱۷	Rudbar	۴۵	۴/۵	۶/۶۳	۰/۰۶۶	Kuh-e-Gugerd	۲۰
۴/۵	۷/۵۴	۰/۲۹۸	Khazar	۴۶	۴/۵	۷/۳۵	۰/۰۹۴	Eyvanaki	۲۱
۴/۵	۶/۱۹	۰/۰۱۱	Kuh-e-Gachab	۴۷	۴/۵	۷/۰۵	۰/۰۳۳	IRQ 566	۲۲

ادامه جدول (۱).

M-min	M-max	I	نام گسل	ردیف	M-min	M-max	I	نام گسل	ردیف
۴/۵	۶/۶۲	۰/۰۸۳	Area 1	۴۸	۴/۵	۶/۸۳	۰/۰۴۴	North Tehran	۲۳
۴/۵	۶/۸۲	۰/۱۱۱	Area 2	۴۹	۴/۵	۷/۱۸	۰/۰۱۱	IRQ 573	۲۴
					۴/۵	۶/۳۵	۰/۰۴۴	Atari 1	۲۵



شکل (۴): (الف) شهر تهران و گسل‌های اطراف آن به شعاع ۲۰۰ کیلومتر (Hesami et al., 2003) و (ب) تقسیم‌بندی تهران به شبکه نقاط 1×1 کیلومتر.

روابطی استفاده نمود که امکان تفکیک این چهار رده با توجه به سرعت موج برشی خاک و یا سایر پارامترهای ژئوتکنیکی فراهم باشد. همچنین طبق توصیه راهنمای کاربردی انجام تحلیل خطر زلزله (نشریه شماره ۶۲۶) استفاده از سه گروه روابط کاہندگی جهانی، منطقه‌ای و محلی می‌تواند نتایج منطقی‌تری را تولید نماید. با توجه به توضیحات فوق، شش رابطه کاہندگی انتخاب و مشخصات آنها در جدول (۲) آورده شده است. همچنین، برای در نظر گرفتن عدم قطعیت‌های شناختی^۹ از درخت منطقی جهت ترکیب حاصل از روابط کاہندگی استفاده شد (Delavaud et al., 2012).

تحلیل خطر احتمالاتی برای تمام نقاط شبکه با به کارگیری روابط کاہندگی منتخب و ترکیب نتایج در درخت منطقی بر حسب نوع خاک هر نقطه به انجام رسیده است. در شکل (۵) منحنی‌های خطر محاسبه شده برای ستادهای طیفی در دو دوره تراوب ۰/۲ و ۱/۰ ثانیه برای تمامی نقاط بر

محاسبه شتاب پاسخ طیفی به عنوان پارامتر مهم حرکات توانمند زمین در گستره شهر تهران واقع در طول‌های جغرافیایی ۳۵/۸۵ تا ۳۵/۵۵ و عرض‌های جغرافیایی ۵۰/۰ تا ۵۱/۸۰ درجه و عرض‌های جغرافیایی ۳۵/۰ تا ۳۵/۸۰ درجه مورد مطالعه قرار گرفته است. بدین‌منظور، گستره مورد مطالعه با شبکه‌هایی به ابعاد 1×1 کیلومتر شامل ۶۳۲ نقطه شبکه‌بندی شده است (شکل ۴-الف). سپس بر اساس مطالعات اثرات ساختگاهی مطابق توضیحات بخش ۳، نوع خاک در هر شبکه تعیین شده است. بنابراین، تعداد به ترتیب ۱۰، ۴۶۵، ۱۵۰ و ۷ نقطه در خاک‌های نوع I تا IV واقع شده است.

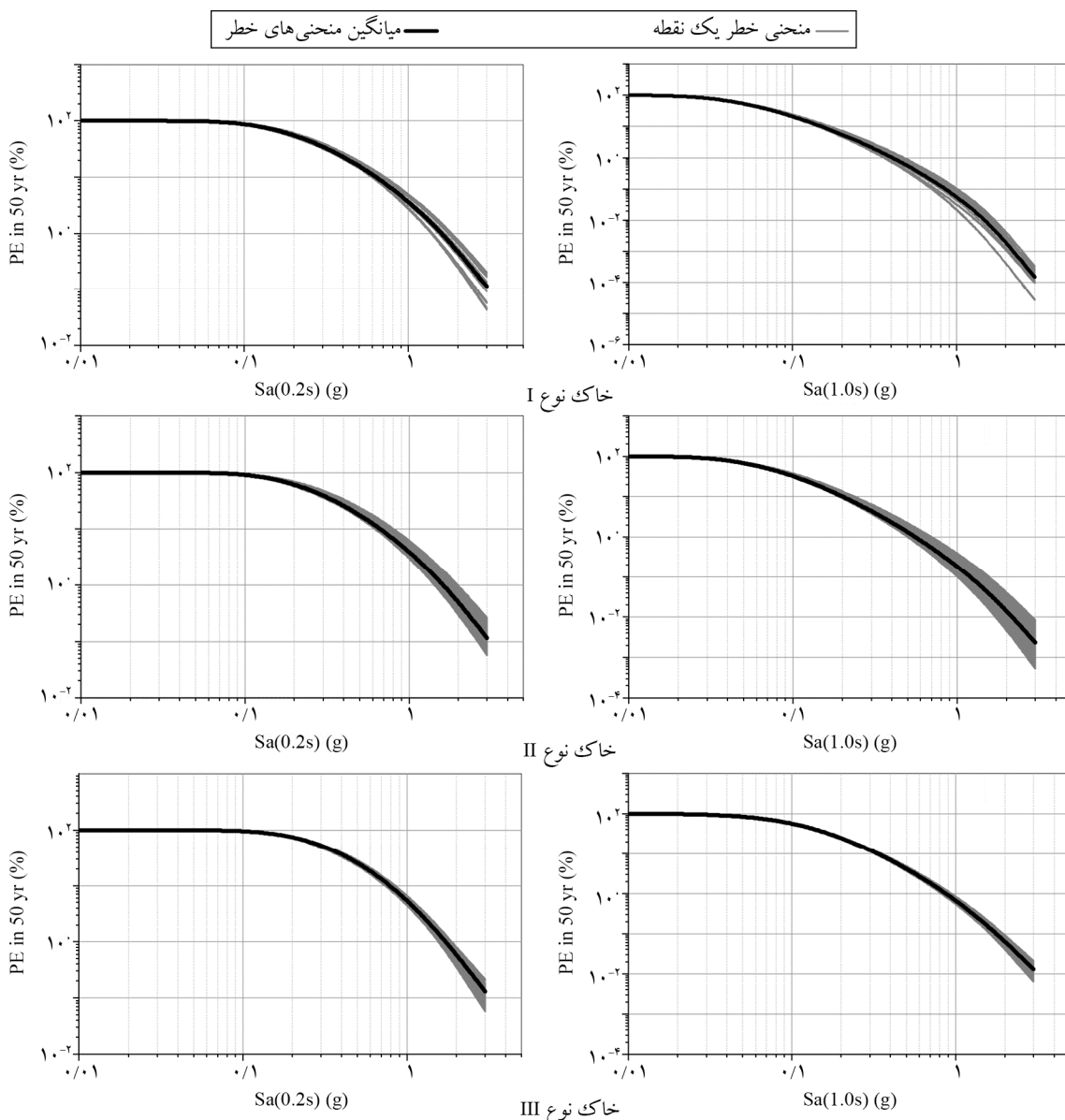
انتخاب روابط کاہندگی طیفی با توجه به نقش مهم این روابط در ارزیابی خطر لرزه‌ای از اهمیت بالایی برخوردار است. از مهم‌ترین عوامل مؤثر در انتخاب یک رابطه کاہندگی طیفی مناسب، استفاده از روابط توسعه داده شده برای همان منطقه یا ایالت لرزه‌زمین ساختی مربوط به آن منطقه است.

همچنین با توجه به تقسیم‌بندی خاک به چهار رده باید از

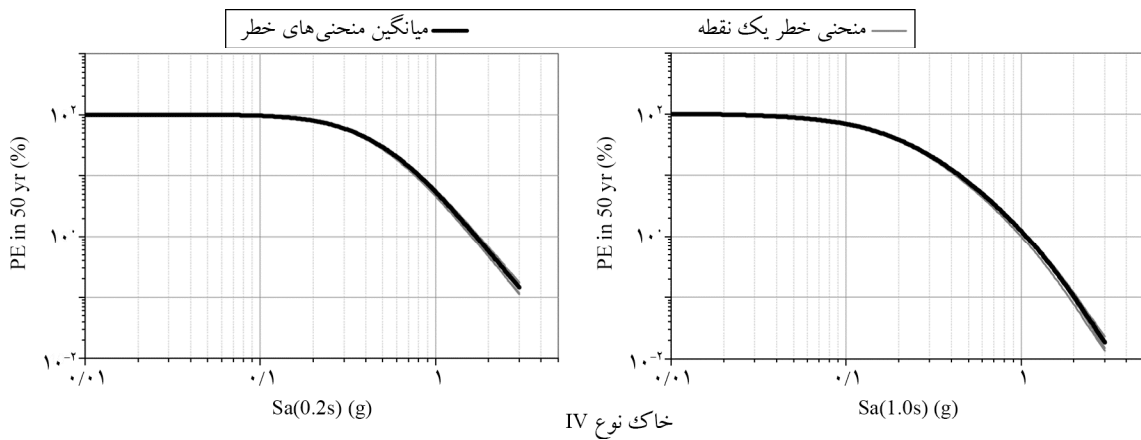
تفکیک نوع خاک به همراه میانگین آنها نشان داده شده است. یکنواخت (Sa_{UH}) با احتمال فرآگذشت ۱۰ درصد در ۵۰ سال در نهایت با استفاده از منحنی های خطر مربوطه، طیف خطر تولید شدند.

جدول (۲): روابط کاهندگی مورد استفاده در این تحقیق.

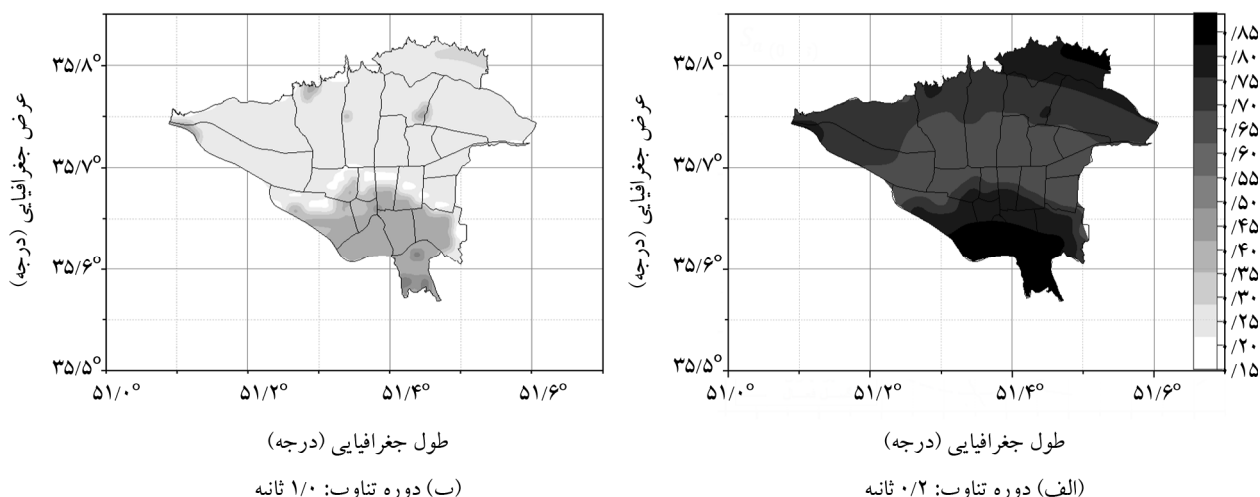
رابطه کاهندگی	m_{min}	m_{max}	R_{min}	R_{max}	R_{type}
Abrahamson et al. (2014)	۳	۸/۵	۰	۳۰۰	R_{RUP}
Campbell and Bozorgnia (2014)	۳	۸/۵	۰	۳۰۰	R_{RUP}
Chiou and Young (2014)	۳/۵	۸	۰	۳۰۰	R_{RUP}
Boore et al. (2014)	۳	۷/۶	۰	۴۰۰	R_{JB}
Zafarani et al. (2017)	۴	۷/۳	۰	۲۰۰	R_{JB}
Kale et al. (2015)	۳	۷/۶	۰	۲۰۰	R_{JB}



شکل (۵): منحنی های خطر نقاط (خاکستری) و میانگین آنها (سیاه) برای چهار نوع خاک برای دوره های تناوب ۰/۲ و ۰/۱ ثانیه.



۱۵امه شکل (۵).



شکل (۶): توزیع شتاب پاسخ طیفی در محدوده مطالعه در دوره تناوب (الف) ۲/۰ ثانیه و (ب) ۱/۰ ثانیه.

جدول (۳) آورده شده‌اند. همان‌طور که ملاحظه می‌گردد مقادیر شتاب پاسخ طیفی ارائه شده در استاندارد ۲۸۰۰ مقادیر بیشتری را نسبت به مقادیر حاصل از طیف خطر یکنواخت خصوصاً برای دوره تناوب‌های بیشتر از ۵/۰ ثانیه ارائه می‌نماید.

جدول (۳): مقادیر شتاب پاسخ طیفی استاندارد ۲۸۰۰ در دوره تناوب‌های ۱/۰ و ۱/۰ ثانیه.

	(g) $Sa_{1.0s}$	(g) $Sa_{0.2s}$	نوع خاک
استاندارد تحقیق حاضر	استاندارد تحقیق حاضر	استاندارد تحقیق حاضر	
۰/۱۸	۰/۳۹	۰/۶۸	۰/۸۸ I
۰/۲۵	۰/۴۸	۰/۸۰	۰/۸۸ II
۰/۴۲	۰/۷۲	۱/۰	۰/۹۶ III
۰/۷۱	۰/۹۶	۰/۸۶	۰/۹۶ IV

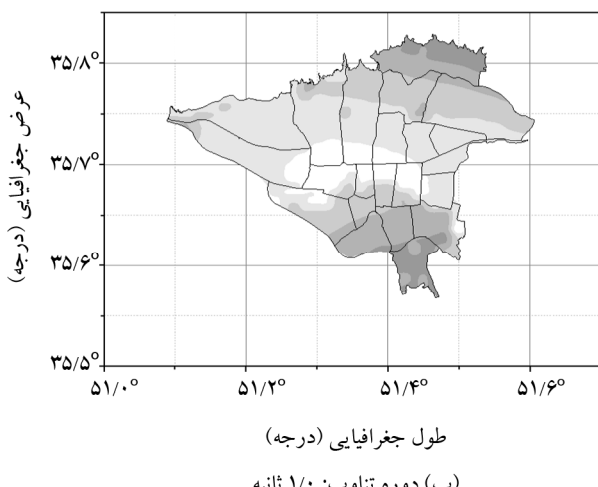
همچنین، تغییرات مقادیر شتاب پاسخ طیفی برای دو دوره تناوب ۱/۰ و ۱/۰ ثانیه در گستره شهر تهران در شکل (۶) نشان داده شده است. توزیع مقادیر شتاب پاسخ طیفی در دوره تناوب ۱/۰ ثانیه نشان می‌دهد که مقادیر شتاب پاسخ طیفی از ۰/۷g در مناطق میانی تهران تا مقدار ۰/۸۸g در جنوب و مقدار ۰/۹۵g در شمال تهران متغیر است. همچنین در دوره تناوب ۱/۰ ثانیه مقادیر شتاب پاسخ طیفی از ۰/۲۵g تا ۰/۴۲g در مناطق میانی تا مقدار ۰/۳۵g در شمال تهران و مقدار ۰/۲۵g در مناطق جنوبی تغییر می‌نمایند. افزون بر این، مقادیر شتاب پاسخ طیفی ارائه شده توسط آینین‌نامه (استاندارد ۲۸۰۰) در دوره تناوب‌های کوتاه (۰/۲ s) و بلند (۱/۰ s) با مقادیر متوسط شتاب پاسخ طیفی خطر یکنواخت برای چهار نوع خاک حاصل از نتایج این تحقیق مقایسه شده و در

۵- طیف خطر یکنواخت

پس از انجام تحلیل خطر احتمالاتی و محاسبه منحنی های خطر هر نقطه در گستره شهر تهران، جهت محاسبه طیف خطر یکنواخت مقادیر شتاب پاسخ طیفی متناظر با احتمال وقوع مشخص 10° درصد در 50 سال (دوره بازگشت 475 ساله) در تمامی دوره تناوب ها به تفکیک نوع خاک محاسبه شده است.

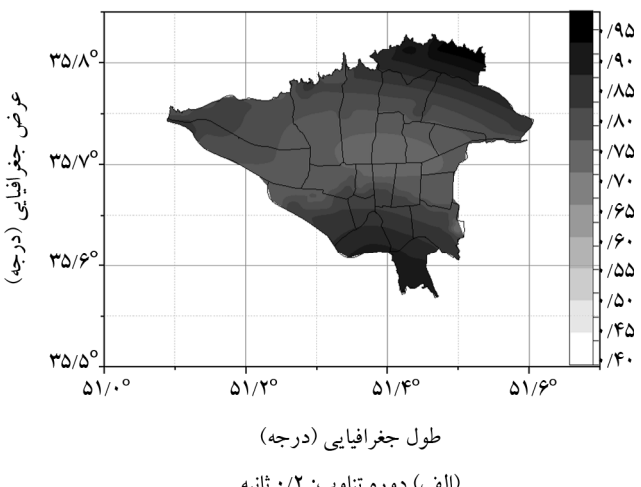
در شکل (۸) طیف های خطر یکنواخت برای تمامی نقاط به تفکیک نوع خاک و میانگین آنها نشان داده شده است. طیف های خطر یکنواخت میانگین برای هر نوع خاک به عنوان طیف خطر یکنواخت نماینده آن نوع خاک در نظر گرفته شده است.

در شکل (۹) طیف های استاندارد 2800 با طیف های خطر یکنواخت نماینده برای چهار نوع خاک مقایسه شده است. با دقت در این شکل ها می توان دید که در دوره تناوب بیشتر از $5/0$ ، ثانیه شتاب های طیفی در استاندارد 2800 مقادیر بالاتری را نسبت به مقادیر طیف های خطر یکنواخت برای هر چهار نوع خاک ارائه می نماید. این در حالی است که مقادیر شتاب طیفی آین نامه برای خاک های نوع III و خصوصاً خاک نوع IV تقریباً با مقادیر طیف خطر یکنواخت مشابه می باشد.

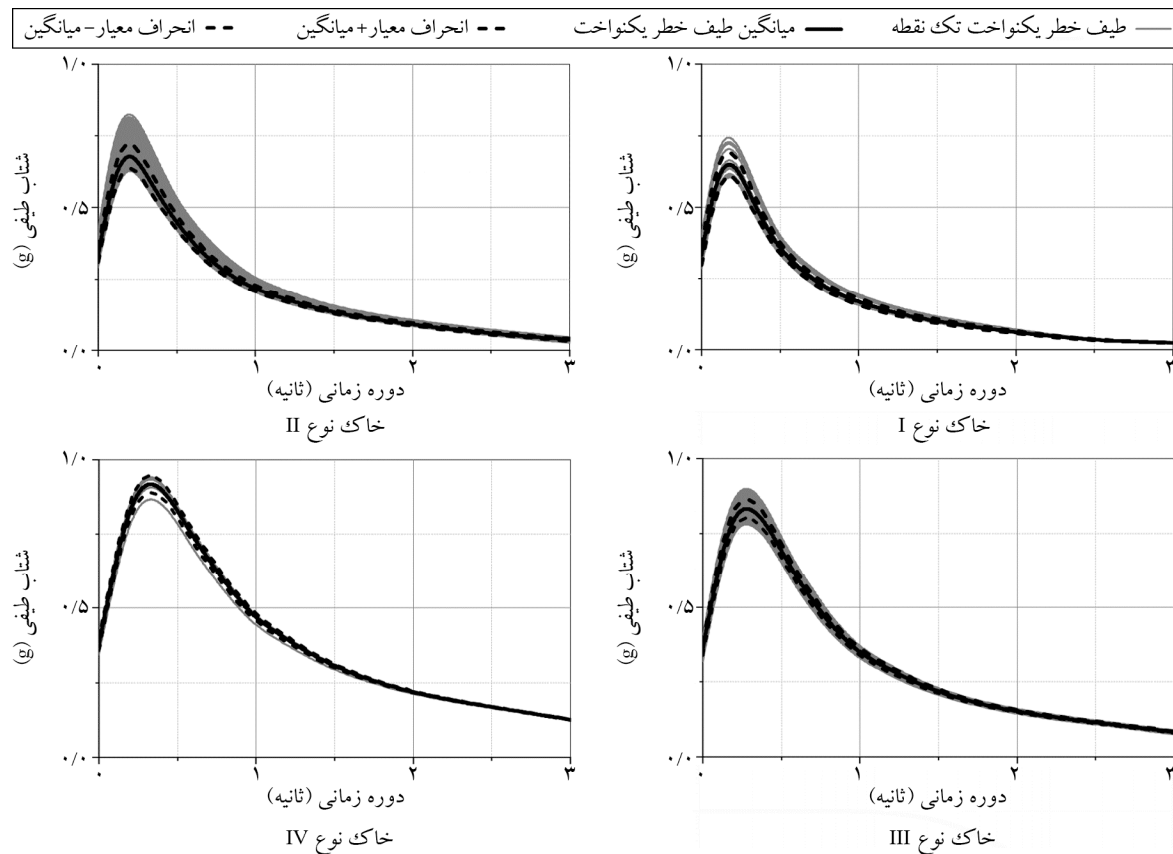


همچنین جهت مقایسه توزیع مقادیر شتاب پاسخ طیفی محاسبه شده با مقادیر پیشنهادی آین نامه (در دوره تناوب های مختلف، نسبت مقادیر شتاب پاسخ طیفی حاصل از رویکرد خطر یکنواخت به مقادیر شتاب پاسخ طیفی متناظر آین نامه محاسبه $R_{Sa} = Sa_{UH} / Sa_{2800}$) و در شکل (۷) نشان داده شده است. این توزیع در دوره تناوب $0/2$ دارای مقدار بیشینه $1/04$ در قسمت شمالی و مقدار کمینه $0/75$ در مناطق جنوب شرقی و میانی تهران می باشد.

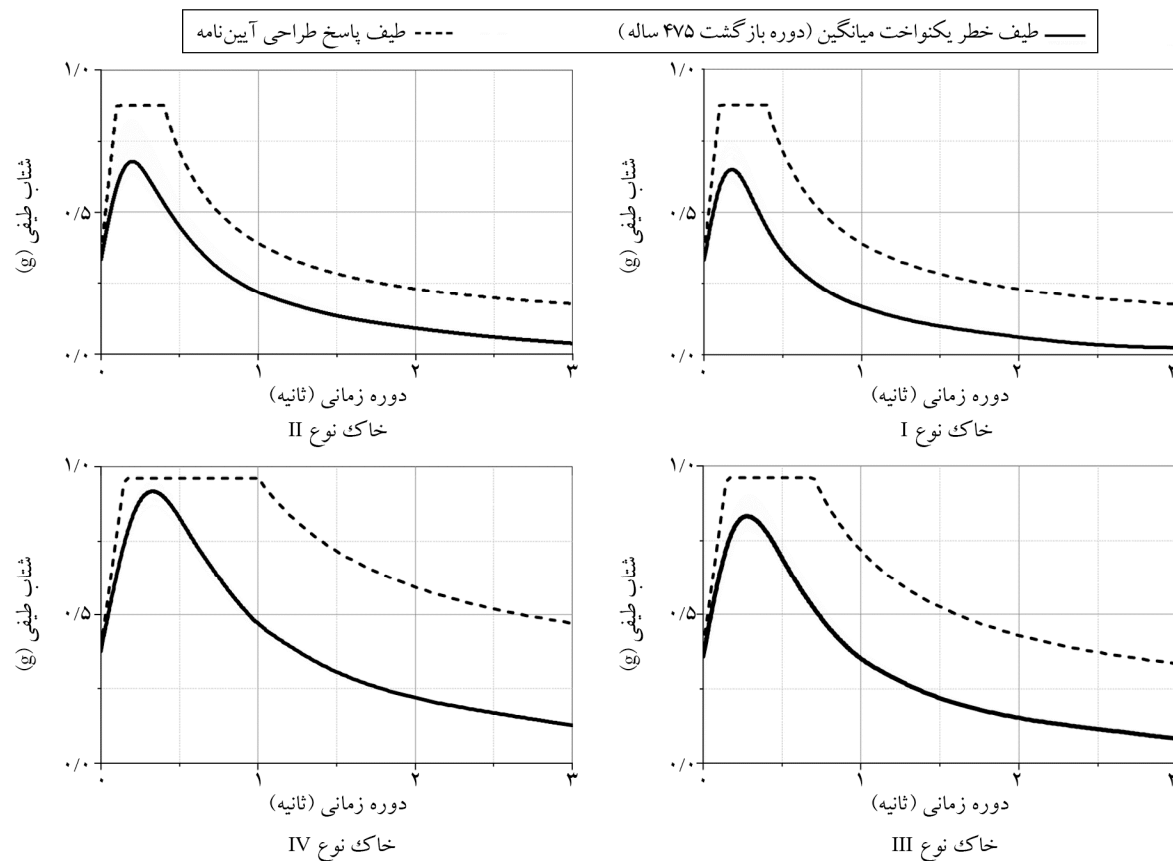
همچنین این نسبت در دوره تناوب $1/0$ ثانیه دارای مقدار بیشینه $0/73$ در شمال و جنوب تهران و مقدار کمینه $0/45$ در جنوب شرقی تهران می باشد. با توجه به روند مشاهده شده در توزیع نسبت شتاب پاسخ طیفی در دوره تناوب های $0/2$ و $1/0$ ثانیه می توان نتیجه گرفت که مقادیر شتاب پاسخ طیفی ارائه شده توسط آین نامه در دوره تناوب $0/2$ ثانیه، در بخشی از مناطق شمالی و غربی شهر تهران به مقادیر شتاب های طیفی متناظر خطر یکنواخت نزدیک بوده و در سایر مناطق مقادیر شتاب پاسخ طیفی آین نامه بیشتر از مقادیر شتاب پاسخ طیفی متناظر خطر یکنواخت می باشد. همچنین در دوره تناوب $1/0$ ثانیه مقادیر شتاب پاسخ طیفی آین نامه در تمام مناطق به ویژه مناطق میانی تهران بیشتر از مقادیر شتاب های طیفی متناظر خطر یکنواخت می باشد.



شکل (۷): توزیع نسبت شتاب پاسخ طیفی خطر یکنواخت به شتاب پاسخ طیفی استاندارد: (الف) در دوره تناوب $0/2$ و (ب) در دوره تناوب $1/0$ ثانیه.



شکل (۸): طیف‌های خطر یکنواخت (دوره بازگشت ۴۷۵ ساله) و میانگین آنها برای چهار نوع خاک.



شکل (۹): مقایسه طیف‌های طرح (ویرایش چهارم آینه‌نامه) با طیف‌های خطر یکنواخت نرمال شده برای چهار نوع خاک.

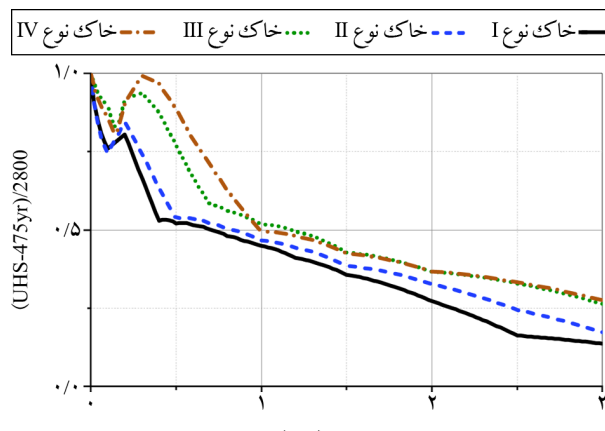
پیشنهادی آین نامه و روند محافظه کارانه آین نامه در توسعه طیف‌های طراحی می‌باشد.

۶- بحث و نتیجه‌گیری

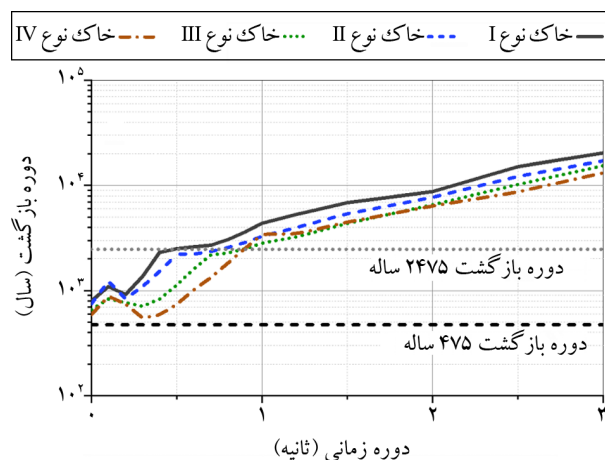
در این مطالعه، تلاش شد تا طیف‌های طراحی آین نامه ایران (استاندارد ۲۸۰۰) بر اساس سنجه متداول خطر یکنواخت برای خاک‌های مختلف به صورت موردی برای شهر تهران ارزیابی گردد. طیف خطر یکنواخت از این جهت که در بسیاری از آین نامه‌های کنونی از جمله آین نامه اروپایی و همچنین در آین نامه‌های قدیم امریکا مورد استفاده بوده است، به عنوان یک سنجه در تعیین آین نامه ایران مورد استفاده قرار گرفته است. گرچه در بازبینی‌های اخیر آین نامه طراحی ساختمان در امریکا، به منظور تأمین حاشیه ایمنی مناسب در عملکرد سازه‌های طراحی شده با استفاده از طیف‌های طراحی بر اساس یک معیار قابل اندازه‌گیری، سنجه‌ی جدید خطرپذیری یکنواخت^۷ جایگزین سنجه قدیم خطر یکنواخت^۸ گردیده است. با این وجود طیف خطر یکنواخت هنوز هم در بسیاری از آین نامه‌های طراحی معتبر در کشورهای مختلف مورد استفاده می‌باشد.

در این بررسی ابتدا طیف خطر یکنواخت با استفاده از انجام تحلیل خطر احتمالاتی زلزله در یک شبکه ۶۳۲ نقطه‌ای در شهر تهران بر حسب نوع خاک در هر نقطه از شبکه محاسبه و سپس میانگین طیف‌های واقع در هر طبقه خاک محاسبه و به عنوان طیف نماینده آن نوع خاک معرفی شده است (شکل ۸). این طیف‌های نماینده با طیف‌های آین نامه برای خاک‌های مختلف در شکل ۹ مقایسه شده است. همچنین نسبت طیف خطر یکنواخت محاسبه شده به طیف استاندارد ۲۸۰۰ برای چهار نوع خاک در شکل ۱۰ نشان داده شده است. همان‌طور که در این شکل مشخص است، طیف استاندارد ۲۸۰۰ در دوره تناوب‌های پایین به طیف خطر یکنواخت نزدیک و در دوره تناوب‌های بالاتر مقادیر بزرگتری از آن را نشان می‌دهد که نشانه محافظه کارانه بودن طیف‌های استاندارد ۲۸۰۰ در دوره تناوب‌های بالا می‌باشد.

در شکل (۱۱) دوره بازگشت متناظر با مقادیر طیفی ارائه شده



شکل (۱۰): نسبت مقادیر شتاب پاسخ طیفی خطر یکنواخت به مقادیر متناظر شتاب طیفی طرح استاندارد ۲۸۰۰ در چهار نوع خاک.



شکل (۱۱): دوره بازگشت متناظر با مقادیر شتاب پاسخ طیفی استاندارد ۲۸۰۰ برای چهار نوع خاک.

نسبت مقادیر طیف خطر یکنواخت میانگین به مقادیر متناظر طیف استاندارد ۲۸۰۰ برای هر رده خاک محاسبه و در شکل (۱۰) آورده شده است.

شکل (۱۰) نیز بر مقادیر بالای شتاب طیفی آین نامه برای تمامی انواع خاک در دوره تناوب‌های بالاتر از ۵/۰ ثانیه تأکید می‌نماید. همچنین، مقادیر شتاب پاسخ طیفی خطر یکنواخت برای خاک‌های نوع III و IV در دوره تناوب‌های زیر ۵/۰ ثانیه با مقادیر پیشنهادی در آین نامه نسبتاً هم خوان است. این در حالی است که این نسبت برای تمامی خاک‌ها با افزایش دوره تناوب از مقدار ۵/۰ ثانیه به کمتر از ۵/۰ رسیده که نشان‌دهنده اختلاف قابل ملاحظه مقادیر شتاب طیفی خطر یکنواخت با مقادیر

مراجع

- Abbasnejadfar, M., Bastami, M., Jarari, M.K., & Azadi, A. (2023). Spatial correlation models of VS30 values: A case study of the Tehran region, *Engineering Geology*, 325.
- Abrahamson, A., Silva, W.J., & Kamai, R. (2014). *Update of the AS08 Ground-Motion Prediction Equations Based on the NGA-West2 Data Set*. Technical Report 2013/04, Pacific Earthquake Engineering Research Center, College of Engineering, University of California, Berkeley.
- BHRC (1987). *Iranian Code of Practice for Seismic Resistant Design of Buildings (Standard No. 2800 (IS 2800-05))*, 1st Edition, Building and Housing Research Center, Tehran, Iran.
- BHRC (1999). *Iranian Code of Practice for Seismic Resistant Design of Buildings (Standard No. 2800 (IS 2800-05))*, 2nd edition, Building and Housing Research Center, Tehran, Iran.
- BHRC (2005). *Iranian Code of Practice for Seismic Resistant Design of Buildings (Standard No. 2800 (IS 2800-05))*, 3rd edition, Building and Housing Research Center, Tehran, Iran.
- BHRC (2014). *Iranian Code of Practice for Seismic Resistant Design of Buildings (Standard No. 2800 (IS 2800-05))*, 4th edition, Building and Housing Research Center, Tehran, Iran.
- Boore, D.M., Stewart, J.P., Seyhan, E., & Atkinson, G.M. (2014). NGA-West 2 equations for predicting PGA, PGV, and 5%-damped PSA for shallow crustal earthquakes. *Earthquake Spectra*, 30(3), 1057-1085.
- Campbell, K.W., & Bozorgnia, Y. (2014). NGA-West2 ground motion model for the average horizontal components of PGA, PGV, and 5%-damped linear acceleration response spectra. *Earthquake Spectra*, 30(3), 1087-1115.
- Chiou, B.S.J., & Youngs, R.R. (2014). Update of the Chiou and Youngs NGA model for the average horizontal component of peak ground motion and response spectra. *Earthquake Spectra*, 30(3), 1117-1153.
- Delavaud, E., Cotton, F., Akkar, S., Scherbaum, F., Danciu, L., & Beauval, C. (2012). Toward a ground-motion logic tree for probabilistic seismic hazard

در آین نامه ایران بر حسب نوع خاک نشان داده شده است. همچنین دو دوره بازگشت‌های ۴۷۵ سال و ۲۴۷۵ سال به صورت خط در این شکل به عنوان معیار مقایسه آورده شده است. همان‌طور که در این شکل مشخص است، دوره بازگشت مقادیر شتاب طیف استاندارد ۲۸۰۰ برای خاک‌های نوع I, II و III به ترتیب در دوره تناوب‌های کمتر از ۱/۴، ۱/۸ و ۲/۵ ثانیه بین ۴۷۵ تا ۲۴۷۵ سال بوده و در دوره تناوب‌های بزرگ‌تر از مقادیر بالا دارای دوره بازگشت بیشتر از ۲۴۷۵ سال می‌باشد. همچنین خاک نوع IV در تمام بازه دوره تناوب دارای دوره تناوب بین ۴۷۵ تا ۲۴۷۵ سال می‌باشد. این شواهد خود گواهی دیگر بر محافظه کارانه بودن مقادیر طیفی آین نامه برای هر چهار نوع خاک خصوصاً برای دوره تناوب‌های بالای ۱ ثانیه است. یکی از دلایل این امر شاید سعی در لحاظ نمودن اثرات خاص همچون اثر حوزه نزدیک گسل باشد که نحوه اعمال آن در آین نامه به جهت پیچیدگی این فرایند بسیار دشوار بوده و در آین نامه طراحی ایران ویرایش ۴ به گونه‌ای لحاظ شده است. همچنین باید توجه نمود که مقادیر آین نامه صرفاً بر اساس مطالعات فنی تعیین نشده و در تعیین آنها پارامترهای مختلف اجتماعی-اقتصادی نیز با عدم قطعیت‌های مختلف دخیل می‌باشد که به جهت بالا بردن حاشیه اینمنی در طراحی سازه‌ها در آین نامه‌ها لحاظ می‌شود. با این وجود مقادیر بسیار محتاطانه اثر مستقیم در بالا بردن هزینه ساخت خواهد داشت و لذا شاید لازم باشد تا در بازنگری‌های آتی آین نامه این حاشیه اینمنی به کمک یک معیار کمی با توجه به میزان ریسک پذیری لرده‌ای جامعه که یکی از ابزار آن استفاده از سنجه ریسک یکنواخت است، مورد ارزیابی قرار گیرد. در انتهای، نتایج این تحقیق نه تنها سنجه‌ی در ارزیابی مقادیر شتاب طیفی ارائه شده در آین نامه طراحی در چارچوب یک روش متداول (خطر یکنواخت) و مورد استفاده در دیگر آین نامه‌های معتبر را فراهم می‌آورد، بلکه از طرف دیگر بر ضرورت استفاده از سنجه‌های نوین در توسعه طیف‌های طراحی آین نامه همچون سنجه ریسک یکنواخت در تأمین کمی حاشیه اینمنی مورد نظر در طراحی ساختمان‌ها نیز تأکید می‌نماید.

to the near field effects for Tehran Region, *Amir Kabir Journal of Civil Engineering*, 42(1), 47-54.

Wesnousky, S.G. (1994) The Gutenberg-Richter or characteristic earthquake distribution, which is it? *Bull. Seismol. Soc. Am.*, 84, 1940–1959.

Zafarani, H., Luzi, L., Lanzano, G., & Soghrat, M. R. (2017). Empirical equations for the prediction of PGA and pseudo spectral accelerations using Iranian strong-motion data. *Journal of Seismology*, 22(1), 263-285.

Zaman, M., & Ghayanghamian, M.R. (2019). Risk-adjusted design basis earthquake: a case study of Tehran megacity. *Bulletin of Earthquake Engineering*, 17(7), 3777.

واژه‌نامه

Period	۱- دوره تناوب
Spectral Acceleration (Sa)	۲- شتاب طیفی
Return Period	۳- دوره بازگشت
Uniform Hazard Spectrum (UHS)	۴- طیف خطر یکنواخت
Probabilistic Seismic Hazard Analysis	۵- تحلیل خطر احتمالاتی
Epistemic	۶- شناختی
Uniform Risk	۷- خطرپذیری یکنواخت
Uniform Hazard	۸- خطر یکنواخت

assessment in Europe. *Journal of Seismology*, 16, 451-473.

Ghayamghamian, M.R., Behroo, R., & Gavahi, N. (2011). Final report of estimation of magnification factor of soil and extraction of fragility curves and human casualties relations of Tehran buildings due to earthquake (in Persian). *Tehran Crisis Prevention and Management Organization*.

Ghodrati Amiri, G., Razavian Amrei, S.A., & Mirhashemi, S.M. (2011). Horizontal uniform hazard spectra for different southern part of Tehran. *Sharif Civil Engineering Journal*, 26(3), 51-60 (in Persian).

Ghodrati Amiri, G., Razavian Amrei, S. A., Motamed, R., & Ganjavi, B. (2007). Uniform hazard spectra for different northern part of Tehran, Iran. *Journal of Applied Sciences*, 7(22), 3368-3380.

Hamednia, Y., & Ghayamghamian, M.R. (2022). Soil classification based on empirical earthquake data analysis in. *8th International Congress on Civil Engineering, Architecture and Urban Development, Tehran, Iran*.

Hesami, K., Jamali, F., & Tabasi, H. (2003). *Active Faults Map of Iran*. International Institute of Earthquake Engineering and Seismology (IIEES), Tehran.

Kale, Ö. Akkar, S., Ansari, A., & Hamzehloo, H. (2015). A ground-motion predictive model for Iran and Turkey for horizontal PGA, PGV, and 5% damped response spectrum: Investigation of possible regional effects. *Bulletin of the Seismological Society of America*, 105(2A), 963-1980.

Loh, C.H., Jean, W.Y., & Penzien, J. (1994), Uniform-hazard response spectra—an alternative Approach. *Earthquake Engineering and Structural Dynamics*, 23(4), 433-445.

McGuire, R.K. (1977). Seismic design spectra and mapping procedures using hazard analysis based directly on oscillator response. *Earthquake Engineering and Structural Dynamics*, 5, 211-234.

Shapira, A., & Van Eck, T. (1993). Synthetic uniform hazard site specific response spectrum. *Natural Hazards*, 8(3), 201-215.

Tehranizade, M., & Seirafian Pour, M. (2010). Determination of uniform hazard spectra with respect

Comparative Study on Standard No. 2800 Design Spectra with Derived Uniform Hazard Spectra for Tehran Megacity

Yaser Hamednia¹, Mohammad Reza Ghayamghamian^{2*}

1. Ph.D. Student, International Institute of Earthquake Engineering and Seismology (IIEES), Tehran, Iran
2. Professor, Risk Management Research Center, International Institute of Earthquake Engineering and Seismology (IIEES), Tehran, Iran, *Corresponding Author, email: mrgh@iiees.ac.ir

Design spectrums are used to compute seismic demand in structural design process. Therefore, seismic design codes try to provide safety margin in performance of structures by developing appropriate design spectra. The design spectra in Iranian seismic design code (Standard No. 2800) were developed via the analysis of different earthquake response spectra. In Standard 2800, a mapped PGA value for 10% in 50 years used as an anchor point to produce the design spectrum at a desired point. Meanwhile, this approach fails to provide a quantitative safety margin as claimed in design code. Furthermore, their accuracy have not yet been examined by conventional approach such as uniform hazard spectra (UHS), which is conventionally employed by many design codes such as Eurocode 8 (1998). Spectral ordinates of UHS have equal probability of exceedance (PE) across all periods of vibration. Therefore, designed structures with recent design spectrums have the same imposed seismic hazard level.

An attempt was made in this study to directly examine the accuracy of proposed design spectra in Standard 2800 by those of UHS derived in Tehran Megacity as a case study. For this purpose, the area under study is divided into 632 grids with a $1 \text{ km} \times 1 \text{ km}$ area. The hazard curve was calculated by considering the soil type at each grid point as defined in Standard 2800 from hard to soft (I to IV). The number of grids fall at each soil type are 10, 465, 150 and 7 points for I, II, III and IV soil types, respectively. Hazard curves at the grid points were calculated and were used to compute uniform hazard spectra for 2% and 10% PE in 50 years (return periods of 2475 and 475 years, respectively). For each soil type, the mean of uniform hazard spectra at different grid points with the same soil type were calculated, which were used as a representative uniform hazard spectrum for that soil type. The derived representative uniform hazard spectra for 10% PE in 50 years were compared with those proposed in Standard 2800 for different soil types. Furthermore, spectral acceleration ratio of uniform hazard with respect to those from Standard 2800 at periods of 0.2 s and 1.0 s were computed and were compared for the whole points according to their soil types. The outcomes reveal that the spectral acceleration in design spectra of Standard 2800 are larger than those in UHS for all the periods, especially for the periods larger than 0.5 s for soil types I and II. Meanwhile, the spectral accelerations of Standard 2800 become almost the same at periods lower than 0.5 s, and again become larger than UHS at periods larger than 0.5 s for soil types III and IV. In general, it is found that the proposed design spectra in Standard 2800 are conservative. This may need further examine by more recent approach such as uniform risk, and then being considered in future revision of Standard 2800.

Keywords: Standard No. 2800, PSHA of Tehran, Uniform Hazard Spectra, Design response spectra.